

УДК 532.59,539.37

**ПРОСТЫЕ РЕШЕНИЯ ЛИНЕЙНОЙ ЗАДАЧИ
О ВОЗБУЖДЕНИИ ДЛИННЫХ ВОЛН НА ПОВЕРХНОСТИ ЖИДКОСТИ
ИСТОЧНИКОМ В УПРУГОМ ОСНОВАНИИ**

© 2020 г. С. Ю. Доброхотов^{a,b}, Х. Х. Ильясов^{a,*}, О. Л. Толстова^{b,c}

^a Институт проблем механики им. А.Ю. Ишлинского РАН, Москва, Россия

^b Московский физико-технический институт, Москва, Россия

^c Математический институт им. В.А. Стеклова РАН, Москва, Россия

*e-mail:ilyasov@ipmnet.ru

Поступила в редакцию 12.01.2020 г.

После доработки 15.01.2020 г.

Принята к публикации 17.01.2020 г.

Рассматривается задача о возбуждении волн на поверхности слоя жидкости, лежащего на упругом полупространстве. Источник возбуждения располагается в упругой среде. Решается совместная система уравнений теории упругости в полупространстве и теории волн в жидкости. На основе полученных ранее упрощенного решения дисперсионного уравнения для водяной моды с учетом влияния упругого полупространства и интегрального представления перемещения поверхности жидкости, вызванных источником простого вида, строятся аналитические формулы для решения задачи в предположении длинных волн. Проводится сравнение результатов, полученных по аналитическим формулам и интегральным представлениям.

Ключевые слова: упругое полупространство, слой жидкости, поверхностные волны, задача Коши, возвышение свободной поверхности

DOI: 10.31857/S0572329920040030

1. Введение. Классическая модель, описывающая распространение длинных волн в океане основана на рассмотрении линеаризованных уравнений теории несжимаемой жидкости в предположении, что дно бассейна жесткое [1–4]. Однако предположение о жесткости дна не позволяет рассматривать процессы вне жидкого слоя, а следовательно, учитывать влияние на распространение волн очага землетрясения. Влияние очага описывают, как правило, начальные условия: обычно задается либо начальное возмущение в жидкости, либо начальное смещение дна. В такой классической постановке многие вопросы, связанные с распространением волн (в частности, волн цунами) остаются без ответа (например, какая часть энергии источника землетрясения переходит в энергию волны цунами, как влияют характеристики дна бассейна на скорость распространения волн в жидкости и т.д).

Существенно более сложная модель, основанная на совместном решении уравнений теории упругости в подстилающем полупространстве и теории волн в жидком слое, по-видимому, впервые была предложена Г.С. Подъяпольским и частично реализована им в [5]. Дальнейшее продолжение этот подход получил в работах [6–11].

Волновые процессы в системе упругое полупространство–слой несжимаемой жидкости можно представить [12, 13] как сумму распространяющихся с разными скоростями отдельных мод, которые в предельных случаях переходят в продольные, попе-

речные волны в упругом полупространстве, поверхностную волну Рэлея и волны возвышения на воде. При этом каждая из мод является “гибридной волной” в том смысле, что перемещения частиц как жидкости, так и упругой среды в ней отличны от нуля. В дальнейшем переходящую в предельном случае в волну возвышения в жидкости моду мы будем называть “водяной”. Значительное различие (более чем на порядок) в скоростях мод, переходящих в продольные, поперечные и рэлеевскую волны в упругой среде, по сравнению с “водяной” приводит к тому, что через сравнительно небольшое время с момента начального возмущения, возвышение свободной поверхности жидкости будет определяться только “водяной” модой. Этот факт позволяет построить решение задачи в виде относительно простой интегральной формулы [13].

В этой работе мы обсудим возможное влияние учета упругих свойств дна на некоторые характеристики распространяющихся волн в жидкости. Нас будут интересовать длинные волны. Мы хотим выяснить как повлияет отказ от жесткости дна и замена его на упругое основание на скорость распространения фронта длинной волны и ее профиль. При движении волны на большие расстояния возникают дисперсионные эффекты, которые могут приводить к изменению профиля и амплитуды волны. Учет дисперсионных эффектов важен с точки зрения определения размера источника.

2. Постановка задачи. 2.1. Система уравнений и граничных условий. Мы ограничимся здесь случаем постоянной глубины. Считаем, что идеальная незавихренная жидкость заполняет водоем, дно которого – упругое полупространство. Волновые движения жидкости описываются потенциалом перемещений $\Psi(x, z, t)$, деформации упругого полупространства – вектором смещений $\mathbf{U}(x, z, t) = (u_1, u_2, u_3)$, где $\mathbf{x} \in R^2$ – горизонтальные координаты, z – вертикальная. Поверхность жидкости считаем свободной, невозмущенная поверхность жидкости задается уравнением $z = 0$, а граница раздела жидкого слоя и упругого полупространства – уравнением $z = -D$. Волны в упругом полупространстве описывают уравнения Ламэ

$$c_t^2 \nabla^2 \mathbf{U} + (c_l^2 - c_t^2) \nabla \operatorname{div} \mathbf{U} = \mathbf{U}_{tt}, \quad z < -D \quad (2.1)$$

Так как жидкость предполагается несжимаемой и безвихревой, в жидком слое имеем уравнение Лапласа для потенциала Ψ :

$$\nabla^2 \Psi = 0, \quad -D < z < 0 \quad (2.2)$$

На невозмущенной поверхности жидкости выполняется кинематическое условие

$$\frac{1}{g} \Psi_{tt} + \Psi_z = 0, \quad z = 0 \quad (2.3)$$

На границе раздела $z = -D$

$$\frac{\partial u_i}{\partial z} + \frac{\partial u_3}{\partial x_i} = 0, \quad i = 1, 2 \quad (2.4)$$

$$(c_l^2 - c_t^2) \left(\frac{\partial u_1}{\partial x_1} + \frac{\partial u_2}{\partial x_2} + \frac{\partial u_3}{\partial z} \right) + 2c_t^2 \frac{\partial u_3}{\partial z} = \rho \frac{\partial^2 \Psi}{\partial t^2} + (\rho - 1) u_3 \quad (2.5)$$

$$\frac{\partial \Psi}{\partial z} = u_3 \quad (2.6)$$

и при $z \rightarrow \infty$ $\mathbf{U} \rightarrow 0$. Здесь c_l, c_t – скорости продольных и поперечных волн в упругой среде, $\rho = \rho_w / \rho_e$ – отношение плотностей жидкости и упругой среды. Приблизительные значения физических параметров задачи: $g \approx 0.01$ км/сек², $\rho_w \approx 1024$ кг/м³, $\rho_e \approx 3000$ кг/м³ для базальта и 2600 кг/м³ для гранита, $c_l \approx 22680$ км/ч (19800 км/ч), $c_t \approx 12600$ км/ч (10080 км/ч) для базальта (гранита). Глубина бассейна D изменяется в

пределах 2–5 км. Таким образом, можно считать, что $\rho \approx 1/3$, $c = c_l/c_t \approx 1/\sqrt{3}$. Скорость распространения длинных волн v в слое жидкости находится в пределах 700–720 км/ч, $v/c_l \approx 0.035$, $v/c_t \approx 0.063$. Параметры начальных возмущений и размеры области, в которой изучаются решения, мы обсудим позже.

Если решения \mathbf{U} и Ψ системы (2.1)–(2.6) найдено, то превышение свободной поверхности жидкости η может быть восстановлено по формуле

$$\eta = -\frac{1}{g} \frac{\partial^2 \Psi}{\partial t^2} \Big|_{z=0} \equiv \frac{\partial \Psi}{\partial z} \Big|_{z=0} \quad (2.7)$$

2.2. Приведение задачи к стандартному виду. Поставленную задачу можно решать двумя способами. В некотором смысле задача является гиперболической, поэтому можно решать ее с помощью метода характеристик. Сначала решим задачу в упругом полупространстве, а когда возмущения доходят до поверхности, подключаем водяной слой. Второй способ основан на разложении решения в интеграл и ряд Фурье. При решении поставленной задачи мы использовали второй способ, который в этом случае кажется нам более эффективным и простым. Мы можем использовать общие результаты из теории операторов, если представим задачу в стандартном для теории операторов виде

$$\mathbf{Y}_t = \hat{L}\mathbf{Y} \quad (2.8)$$

где \hat{L} – некоторый матричный дифференциальный оператор по переменным x и z . Для этого мы должны определить подходящим образом пространство, в котором заданы неизвестные функции. Нестандартность задачи обусловлена тем, что в системе (2.1)–(2.6) уравнение Лапласа не содержит производные по времени, но в некоторые граничные условия эти производные входят.

Наличие вариационного принципа, консервативность и физический смысл задачи показывают, что она должна быть самосопряженной, возможно, в пространстве со специальным скалярным произведением.

Для того чтобы представить задачу в стандартном виде (2.8), систему нужно преобразовать так, чтобы исключить уравнение Лапласа, а часть граничных условий будет играть роль уравнений.

Пусть R' – операция, сопоставляющая вектору $\psi = (\psi_0, \psi_D)$, где $\psi_0 = \Psi(x, 0, t)$, $\psi_D = \Psi(x, -D, t)$, вектор $(R'_D \psi, R'_0 \psi)$, составленный из нормальных производных решений задачи Дирихле

$$\nabla^2 \Psi = 0, \quad -D < z < 0 \quad (2.9)$$

$$\Psi(\mathbf{x}, 0, t) = \psi_0, \quad \Psi(\mathbf{x}, -D, t) = \psi_D, \quad \mathbf{x} \in (-\infty, \infty) \quad (2.10)$$

Используя в качестве неизвестной вектор-функцию из пяти компонент (индекс T означает транспонирование)

$$\mathbf{Y}^T = (u_1(\mathbf{x}, z, t), u_2(\mathbf{x}, z, t), u_3(\mathbf{x}, z, t), \psi_0(\mathbf{x}, t), \psi_D(\mathbf{x}, t))^T$$

разрешая (2.5) относительно $\partial^2 \Psi / \partial t^2$, получим для \mathbf{Y} задачу вида (2.8) с начальными условиями

$$\mathbf{Y}|_{t=0} = \mathbf{Y}^0, \quad \mathbf{Y}_t|_{t=0} = \mathbf{Y}^1$$

В работе [9] была доказана теорема о существовании и единственности решения полуженной задачи в более общем случае переменного дна. Отметим, что оператор \hat{L} не является даже симметричным в пространстве с обычным скалярным произведением. Для доказательства “почти” симметричности скалярное произведение было введено особым образом и будет приведено позднее. Для доказательства самосопряженно-

сти оператора \hat{L} было построено семейство самосопряженных операторов, приближающих \hat{L} . Стоит отметить работу [11], в которой для доказательства самосопряженности в подобной задаче были использованы в качестве неизвестных превышение свободной поверхности жидкости η и вектор смещений в упругой среде \mathbf{U} .

3. Решение задачи в случае постоянного дна. 3.1. *Метод Фурье и сведение задачи к одномерным операторным пучкам.* Будем искать некоторые частные решения задачи в виде

$$\mathbf{Y} = \hat{\mathbf{Y}} e^{i\omega(\mathbf{p}, \mathbf{k})t + i\mathbf{p}\mathbf{x}}$$

где $\mathbf{p} = (p_1, p_2)$ – двойственные по отношению к x_1, x_2 переменные. Решение задачи сводится к исследованию спектра оператора $\hat{L}(\mathbf{p}, \partial/\partial z)$, который действует на элементы $\hat{\mathbf{Y}} = (\hat{\mathbf{U}}(z, \mathbf{p}), \hat{\psi}_0(\mathbf{p}), \hat{\psi}_D(\mathbf{p}))^T$. Опишем спектр этого оператора при каждом фиксированном \mathbf{p} .

Очевидно, что функции $\hat{\mathbf{U}}$ вида $\hat{\mathbf{U}} = \hat{\mathbf{U}}(\mathbf{p})e^{kz}$ являются решениями данной задачи. Подставив их в уравнения Ламэ, из условия существования ненулевого решения однородной системы уравнений получим уравнение для определения k , откуда находим

$$k_t = \sqrt{\mathbf{p}^2 - \omega^2/c_t^2}, \quad k_l = \sqrt{\mathbf{p}^2 - \omega^2/c_l^2}$$

где $\mathbf{p}^2 = p_1^2 + p_2^2$.

Используя (2.9), (2.10) и граничные условия, получаем выражения для $\hat{\psi}_0, \hat{\psi}_D$ через значение вертикальной составляющей потенциала перемещений упругой среды на границе раздела:

$$\hat{\psi}_0 = \frac{g}{\text{ch}(|\mathbf{p}|D)(\omega^2 - g|\mathbf{p}|\text{th}(|\mathbf{p}|D))} \hat{u}_3|_{z=-D}$$

$$\hat{\psi}_D = |\mathbf{p}| \frac{(g|\mathbf{p}| - \omega^2 \text{th}(\mathbf{p}D))}{|\mathbf{p}|(\omega^2 - g|\mathbf{p}|\text{th}(|\mathbf{p}|D))} \hat{u}_3|_{z=-D}$$

и уравнение, связывающее ω и \mathbf{p} , называемое дисперсионным уравнением:

$$\left(\lambda - g|\mathbf{p}|\text{th}(|\mathbf{p}|D) \right) \left(-4\mathbf{p}^2 k_t k_l + (k_t^2 + \mathbf{p}^2)^2 - \frac{\lambda g(\rho - 1)k_l}{c_t^4} \right) + \frac{\lambda^2 \rho k_l}{c_t^4} (g|\mathbf{p}| - \lambda \text{th}(|\mathbf{p}|D)) = 0 \quad (3.1)$$

где $\lambda = \omega^2$ соответствует второй производной по времени. Если ввести $v^2 = \lambda/\mathbf{p}^2$ (фазовую скорость), то (3.1) примет вид

$$\left(v^2 - \frac{g}{|\mathbf{p}|} \text{th}(|\mathbf{p}|D) \right) \left(-4\tilde{k}_t \tilde{k}_l + \left(\tilde{k}_t^2 + 1 \right)^2 - \frac{g(\rho - 1)v^2}{|\mathbf{p}|} \frac{\tilde{k}_t^2}{c_t^4} \right) + \rho \frac{v^4}{c_t^4} \left(\frac{g}{|\mathbf{p}|} - v^2 \text{th}(|\mathbf{p}|D) \right) = 0 \quad (3.2)$$

$$\tilde{k}_t = \sqrt{1 - v^2/c_t^2}, \quad \tilde{k}_l = \sqrt{1 - v^2/c_l^2}$$

3.2. *Спектр операторного пучка.* Когда $\omega^2 < \mathbf{p}^2 c_t^2$, т.е. $v < c_t$ уравнение (3.1) имеет два действительных корня $\lambda_W = \omega^2(|\mathbf{p}|)$ и $\lambda_R = \omega_R^2(|\mathbf{p}|)$, соответственно уравнение (3.2) имеет корни v_W и v_K , которые определяют две точки дискретного спектра, соответствующие поверхностным волнам в жидкости в предельном случае жесткого дна и

волнам Рэлея в упругом полупространстве, когда слой жидкости отсутствует. Отвечающие им собственные функции обозначим соответственно $\bar{Y}_W(\mathbf{p}, z)$ и $\bar{Y}_R(\mathbf{p}, z)$.

Когда $\lambda \geq \mathbf{p}^2 c_t^2$, спектр становится непрерывным, при $\mathbf{p}^2 c_t^2 \leq \lambda \leq \mathbf{p}^2 c_l^2$ имеем двумерное подпространство собственных функций ($\bar{Y}_l^{1,2}(\mathbf{p}, z)$), которые отвечают поперечным волнам в упругой среде, а при $\lambda > \mathbf{p}^2 c_l^2$ мы должны добавить решения, соответствующие продольным волнам в упругой среде (собственные функции $\bar{Y}_l(\mathbf{p}, z)$).

Остановимся более подробно на исследовании точек дискретного спектра. Для корня уравнения (3.2), соответствующего поверхностным волнам в жидкости, мы можем считать значение отношения v^2/c_l^2 малой величиной, так как $Dg \leq 0.1$, $c_l \sim 6$, и тогда, считая $k_l \approx 1$, перепишем уравнение (3.2) в виде

$$v \left(v^2 - \frac{g}{|\mathbf{p}|} \operatorname{th}(|\mathbf{p}|D) \right) \left(-4\tilde{k}_l + \left(\tilde{k}_l^2 + 1 \right)^2 - \frac{g(\rho - 1)v^2}{|\mathbf{p}|c_t^4} \right) + \rho \frac{v^4}{c_t^4} \left(\frac{g}{|\mathbf{p}|} - v^2 \operatorname{th}(|\mathbf{p}|D) \right) = 0$$

Воспользовавшись асимптотическим разложением для $k_l \approx 1 - v^2/(2c_l^2)$, получим, вынося за скобки v^2/c_t^4 :

$$\frac{v^2}{c_t^4} \left(\left(v^2 - \frac{g}{|\mathbf{p}|} \operatorname{th}(|\mathbf{p}|D) \right) \left(\frac{v^2}{2} - \frac{g}{|\mathbf{p}|}(\rho - 1) \right) + \rho v^2 \left(\frac{g}{|\mathbf{p}|} - v^2 \operatorname{th}(|\mathbf{p}|D) \right) \right) = 0$$

Корень $v^2 = 0$ интереса не представляет. Для нахождения других корней мы имеем биквадратное уравнение, которое в области существования дискретного спектра имеет решение

$$v^2 \approx g \left(1 - \frac{g\rho}{g + 2c_t^2 |\mathbf{p}|} \right) \frac{\operatorname{th}(|\mathbf{p}|D)}{|\mathbf{p}|} \quad (3.3)$$

При малых значениях $|\mathbf{p}|$ (для очень длинных волн) $|\mathbf{p}|D \leq 0.1$ и мы можем заменить $\operatorname{th}(|\mathbf{p}|D)$ на $|\mathbf{p}|D$:

$$v^2 \approx g \left(1 - \frac{g\rho}{g + 2c_t^2 |\mathbf{p}|} \right) D$$

или

$$\lambda \approx g \left(1 - \frac{g\rho}{g + 2c_t^2 |\mathbf{p}|} \right) D \mathbf{p}^2 \quad (3.4)$$

откуда при $|\mathbf{p}| = 0$ имеем $v^2 \approx (1 - \rho)gD$.

Корень уравнения (3.2), соответствующий волнам Рэлея в упругом полупространстве, появляется при $|\mathbf{p}| = p_{cr}$, отщепляясь от прямой $v = c_l$, и при больших значениях $|\mathbf{p}|$ выходит на постоянное значение, соответствующее значению фазовой скорости волны Рэлея (при отсутствии слоя жидкости $v_R \approx 0.8c_l$. Учитывая значения c_t, c_l, D, g , можно при всех $|\mathbf{p}|$ отбросить члены с $\operatorname{th}(|\mathbf{p}|D)$, которые описывают влияние слоя жидкости на Рэлеевскую составляющую решения. В результате получим уравнение

$$-4c_t^2 v^2 + v^4 - \frac{g\tilde{k}_l}{|\mathbf{p}|} v^2 + c_t^4 (4 - \tilde{k}_l \tilde{k}_l) = 0 \quad (3.5)$$

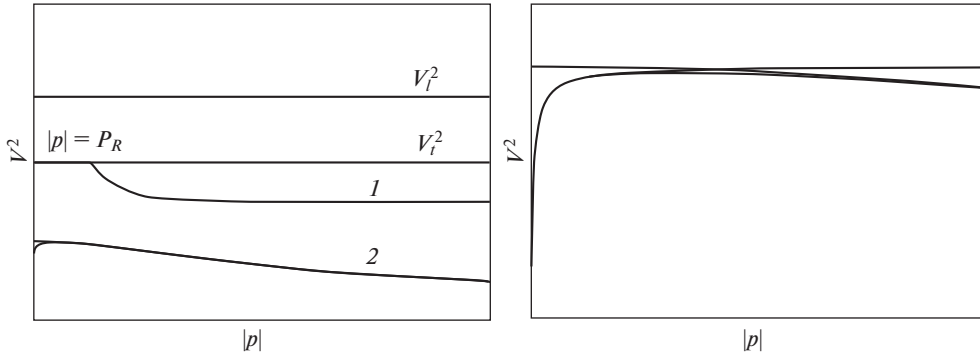


Рис. 1

или

$$|p| = \frac{g\tilde{k}_l v^2}{4c_l^4 - 4c_l^2 v^2 + v^4 - 4c_l^4 \tilde{k}_r \tilde{k}_l} \quad (3.6)$$

Полагая в (3.6) $v = c_l$, получаем, что

$$p_{cr} = \frac{g}{c_l^2}$$

При $|p| \rightarrow \infty$ получаем известное уравнение для фазовой скорости волны Рэлея.

Схематичное изображение спектра оператора показано на рис. 1 слева, цифрой 1 обозначена мода Рэлея, цифрой 2 – водяная мода. Горизонтальная прямая $v = c_l$ определяет нижнюю границу непрерывного спектра, а $v = c_l$ определяет границу, при переходе через которую двукратно вырожденный спектр становится трехкратно вырожденным. Справа на рисунке представлены дисперсионные кривые для водяной моды.

3.3. Разложение решения по модам, интегральное представление решения и его упрощение для водяной моды. Рассмотрим следующую задачу Коши:

$$\begin{aligned} U|_{t=0} = U^0(x, z) \quad \frac{\partial U}{\partial t}|_{t=0} = 0, \quad \Psi_{W,D}|_{t=0} = \frac{\partial \Psi_{W,D}}{\partial t}|_{t=0} = 0 \\ U^0(x, z) \quad (x = 0, z_0), \quad z_0 < 0 \\ \frac{(z-z_0)^2}{2b_1^2}, \quad V(x) = \frac{1}{(1 + (x_1/b_1)^2 + (x_2/b_2)^2)^{3/2}} \end{aligned} \quad (3.7)$$

Согласно общей теории решение задачи можно представить в виде разложения по собственным функциям оператора \hat{L} (модам):

$$\begin{aligned} Y = \sum_{\pm} \left\{ \frac{1}{2\pi} \int_{R^2} e^{ip \cdot x} \left[e^{\pm it\omega_W(|p|)t} C_W^{\pm} \tilde{Y}_W(\mathbf{p}, z) + e^{\pm it\omega_R(|p|)t} C_R^{\pm} \tilde{Y}_R(\mathbf{p}, z) \right. \right. \\ \left. \left. + \int_0^{\infty} \left(e^{\pm it\omega_r(\mathbf{p},k)} \sum_{m=1}^2 C_l^{\pm, m} \tilde{Y}_l^m(\mathbf{p}, k, z) + e^{\pm it\omega_l(\mathbf{p},k)} C_l^{\pm} \tilde{Y}_l(\mathbf{p}, k, z) \right) dk \right] d\mathbf{p} \right\} \end{aligned} \quad (3.8)$$

где $C_W^\pm(\mathbf{p})$, $C_R^\pm(\mathbf{p})$, $C_l^{\pm,1}(\mathbf{p}, k)$, $C_l^{\pm,2}(\mathbf{p}, k)$, $C_l^\pm(\mathbf{p}, k)$ – коэффициенты Фурье разложения начальных данных.

Мы хотим определить, какой вклад в решение вносят слагаемые, соответствующие точке дискретного спектра, отвечающей водяной моде, так как при фиксированных x и достаточно больших временах в разложении решения по собственным функциям значимыми являются только слагаемые, соответствующие водяной моде. Нас интересует значение возвышения свободной поверхности η при временах, когда упругие моды уже не вносят существенный вклад в решение задачи. Это приводит к равенству

$$\eta = \sum_{\pm} \int_{R^2} e^{i(\mathbf{p}\mathbf{x} + \omega_W(\mathbf{p})t)} C_W^\pm(\mathbf{p}) [\bar{Y}_W]_{\eta}(\mathbf{p}) d\mathbf{p} \quad (3.9)$$

где $[\bar{Y}_W]_{\eta}(\mathbf{p})$ – компонента вектора \bar{T}_W , соответствующая η ,

$$\bar{Y}_W(\mathbf{p}, z) = (\chi(\mathbf{p}, z), \xi_W(\mathbf{p}), \xi_D(\mathbf{p}))$$

$\chi(\mathbf{p}, z)$ соответствует \bar{U} , а $\xi = (\xi_W(\mathbf{p}), \xi_D(\mathbf{p}))$ соответствуют $(\bar{\Psi}_W, \bar{\Psi}_D)$

$$\chi = A \left(\begin{pmatrix} \mathbf{p}k_l \\ -i\mathbf{p}^2 \end{pmatrix} e^{k_l(z+D)} + \frac{k_l^2 + p^2}{2k_l} \begin{pmatrix} -\mathbf{p} \\ ik_l \end{pmatrix} e^{k_l(z+D)} \right), \quad \mathbf{p} = \begin{pmatrix} p_1 \\ p_2 \end{pmatrix}$$

$$\xi_W = \frac{iAg\lambda_W}{2c_l^2 \text{ch}(|\mathbf{p}|D) (\lambda_W - g|\mathbf{p}| \text{th}(|\mathbf{p}|D))}, \quad \xi_D = \xi_W \left(1 - \frac{\lambda_W \text{th}(|\mathbf{p}|D)}{g|\mathbf{p}|} \right)$$

Из условия нормировки

$$\int_{-\infty}^{-D} \langle \bar{\chi}, \chi \rangle dz + \langle \bar{\xi}, R(p)\xi \rangle = 1, \quad \text{где} \quad R = \begin{pmatrix} |\mathbf{p}| \text{cth}(|\mathbf{p}|D) - |\mathbf{p}|/\text{sh}(|\mathbf{p}|D) \\ |\mathbf{p}|/\text{sh}(|\mathbf{p}|D) - |\mathbf{p}| \text{cth}(|\mathbf{p}|D) \end{pmatrix}$$

находим

$$A = \left(\frac{\mathbf{p}^2(k_l^2 + \mathbf{p}^2)}{2k_l} + \frac{(k_l^2 + \mathbf{p}^2)^2(k_l^2 + \mathbf{p}^2)}{8k_l^3} - \frac{\mathbf{p}^2(k_l^2 + \mathbf{p}^2)}{k_l} + \frac{\rho\lambda_W^2 |\mathbf{p}| \text{th}(|\mathbf{p}|D)}{4c_l^4 (\lambda_W - g|\mathbf{p}| \text{th}(|\mathbf{p}|D))^2} \left(g^2 - 2g \frac{\lambda_W}{|\mathbf{p}|} \text{th}(|\mathbf{p}|D) + \frac{\lambda_W^2}{\mathbf{p}^2} \right) \right)^{-1/2} \quad (3.10)$$

Используя приведенные формулы, получаем

$$\eta = -\frac{1}{4\pi} \sum_{\pm} \int_{\mathbb{R}_p^2} e^{i(\langle \mathbf{p}, \mathbf{x} \rangle \pm t\omega(|\mathbf{p}|))} \frac{i\omega^4 C_W(\mathbf{p}) A}{2c_l^2 \text{ch}(|\mathbf{p}|D) (\lambda_W(|\mathbf{p}|) - g|\mathbf{p}| \text{th}(|\mathbf{p}|D))} d\mathbf{p} \quad (3.11)$$

$$C_W(\mathbf{p}) = \frac{1}{2\pi} \int_{-\infty}^{-D} \bar{\chi}(\mathbf{p}, z) \left(\int_{\mathbb{R}_x^2} e^{-i\langle \mathbf{p}, \mathbf{x} \rangle} U^0(\mathbf{x}, z) d\mathbf{x} \right) dz$$

Учитывая, что преобразование Фурье от функции V равно

$$V = b_1 b_2 e^{-|\mathbf{p}| \sqrt{b_1^2 \cos^2 \psi + b_2^2 \sin^2 \psi}}$$

и учитывая выражение для собственных функций, получаем

$$C_W = -iAb_1 b_2 e^{-|\mathbf{p}|b(\psi)} \left((ik_l \langle \mathbf{p}, \mathbf{a} \rangle - \mathbf{p}^2 a_3) e^{k_l(z_0+D)} F_l + \frac{k_l^2 + p^2}{2k_l} (-i\langle \mathbf{p}, \mathbf{a} \rangle + k_l a_3) e^{k_l(z_0+D)} F_l \right) \quad (3.12)$$

$$b(\psi) = \sqrt{b_1^2 \cos^2 \psi + b_2^2 \sin^2 \psi}, \quad \langle \mathbf{p}, \mathbf{a} \rangle = p_1 a_1 + p_2 a_2$$

$$F_{t,l} = \int_{-\infty}^{-D} \epsilon(z) e^{k_{t,l}(z-z_0)} e^{-\frac{(z-z_0)^2}{2b_3^2}} dz \quad (3.13)$$

Теперь попробуем упростить полученные формулы. Предполагая, что источник возбуждения расположен достаточно глубоко, его вертикальные размеры не велики, т.е. $|z_0| - D \gg b_3$, верхний предел в интегралах (3.13) можно заменить на ∞ . Тогда получим, что

$$F_{t,l} \approx b_3 \sqrt{2\pi e} \frac{b_3^2 k_{t,l}^2}{2} e^{(z_0 + b_3^2 k_{t,l})} \quad (3.14)$$

Далее воспользуемся упрощенным выражением (3.3) для водяной моды (для λ_W), малостью величин gD/c_t^2 , gD/c_l^2 , заменим $k_t \approx |\mathbf{p}|(1 - \lambda 2c_t^2 p^2)$, в результате получим

$$\begin{aligned} \eta \approx & \frac{b_1 b_2 b_3 g}{4\sqrt{2\pi} c_t^2} \sum_{\pm} \int_{\mathbb{R}_p^2} e^{i(\langle \mathbf{p}, \mathbf{x} \rangle \pm t\omega(\mathbf{p}))} \frac{e^{-|\mathbf{p}|\sqrt{b_1^2 \cos^2 \psi + b_2^2 \sin^2 \psi}} \left(1 - \rho + \frac{2|\mathbf{p}|c_t^2}{g}\right)^2 \text{sh}(|\mathbf{p}|D)}{\mathbf{p}^2 \left(1 + \frac{2|\mathbf{p}|c_t^2}{g}\right) (\rho \text{ch}^2(|\mathbf{p}|D) + \text{th}(|\mathbf{p}|D))} \\ & \times \left((ik_t \langle \mathbf{p}, \mathbf{a} \rangle - \mathbf{p}^2 a_3) e^{k_t(z_0+D)} e^{\frac{b_3^2 k_t^2}{2}} + \frac{k_t^2 + p^2}{2k_t} (-i \langle \mathbf{p}, \mathbf{a} \rangle + k_l a_3) e^{k_l(z_0+D)} e^{\frac{b_3^2 k_l^2}{2}} \right) d\mathbf{p} \end{aligned} \quad (3.15)$$

Обозначим φ – полярный угол вектора x , ψ – полярный угол вектора \mathbf{p} , $\langle \mathbf{p}, \mathbf{x} \rangle = |\mathbf{x}|r \cos(\psi - \varphi)$, $r = |\mathbf{p}|$. В интеграле (3.15) перейдем к полярным координатам (r, ψ) и при этом будем предполагать, что точка x находится достаточно далеко от начала координат. Применим метод стационарной фазы по углу ψ (см., например, [14]). Это даст дополнительные слагаемые с $e^{i(\pm r|\mathbf{x}|\pm \omega t)}$. Так как $\partial\omega/\partial r > 0$, то при $t > 0$ слагаемое с $e^{\pm(|\mathbf{x}|r+t\omega(\mathbf{p}))}$ вносит вклад в асимптотику меньше, чем слагаемые с $e^{\pm(|\mathbf{x}|r-t\omega(\mathbf{p}))}$ (в силу соображений, которые использовались при вычислении асимптотик быстроменяющихся интегралов) [15]. В результате получим

$$\eta_F \approx \frac{b_1 b_2 b_3 g^2}{8\pi c_t^2 c_l \sqrt{|\mathbf{x}|}} \text{Re} \left[\int_0^\infty e^{i(|\mathbf{x}|r-t\omega(r)-\pi/4)} \frac{e^{-r(b(\psi)-z_0-D)} (1 - \rho + 2rc_t^2/g)^3 \text{sh}^2(Dr)}{\sqrt{r(1 + 2rc_t^2/g)^2} (\rho \text{ch}^3(Dr) + \text{sh}(Dr))} Q dr \right] \quad (3.16)$$

$$Q = e^{\frac{b_3^2 r^2}{2}} (a_3(c^2 - R) + ia_h(\varphi)(1 + R)) e^{(z_0 + b_3^2 r)}$$

$$R = (c^2 - 1)r(D + b_3^2 r + z_0), \quad c = c_l/c_t, \quad a_h(\varphi) = a_1 \cos(\varphi) + a_2 \sin(\varphi)$$

3.4. Длинноволновое приближение. Если рассматривать длинноволновое приближение, то $|\mathbf{p}|D$ можно считать достаточно малой величиной, а $b_j + |z_0| \gg D$, $\sin(Dr) \approx Dr$, $\text{ch}(Dr) \approx 1$. В результате получим

$$\eta_L = \frac{b_1 b_2 b_3 g}{4\pi c_t^2} \frac{D^2}{\sqrt{|\mathbf{x}|}} \text{Re} \left[\int_0^\infty r^{5/2} e^{i(|\mathbf{x}|r-t\tilde{\omega}(r)-\pi/4)} \frac{e^{-r(b(\psi)-z_0-D)} e^{b_3^2 r^2/2}}{(\rho + Dr)} Q e^{(z_0 + b_3^2 r)} dr \right] \quad (3.17)$$

где $Q = (a_3(c^2 - R) + ia_h(\varphi)(1 + R))$, $R = (c^2 - 1)(D + b_3^2 r + z_0)r$

Дальнейшие упрощения связаны со следующими фактами. Во-первых, можно одновременно отбросить экспоненту $e^{b_3^2 r^2/2}$, $b_3 r$ в множителе R , а также “срезающую”

функцию. Кроме того, учитывая наличие в интеграле множителя $r^{5/2}$, быстрое стремление к 0 подынтегральной функции и существенное изменение подынтегральной функции лишь при очень малых r , частоту $\tilde{\omega}$ (дисперсионное соотношение) можно заменить на $\tilde{\omega} = \sqrt{gDr} = Cr$. В результате приходим к следующей формуле:

$$\eta_L = \frac{b_1 b_2 b_3 g}{4\pi c_l^2} \frac{D^2}{\sqrt{|x|}} \operatorname{Re} \left[\int_0^\infty r^{5/2} e^{i(|x|-rC)r-\pi/4} \frac{e^{-r(b(\psi)+h)}}{(\rho + Dr)} (a_3(c^2 - R) + ia_h(\varphi)(1 + R)) dr \right] \quad (3.18)$$

$$R \approx -(c^2 - 1)hr, \quad h = -z_0 - D$$

Величина h характеризует глубину залегания источника, считая от границы раздела вода—упругое основание.

Ясно, что последний интеграл сводится к вычислению двух интегралов

$$I_k = I_k(y, L, \gamma, D) = \int_0^\infty r^{k+1/2} \frac{e^{(iy-L)r}}{\gamma + Dr} dr = \left(-i \frac{\partial}{\partial y} \right)^k \int_0^\infty \sqrt{r} \frac{e^{(iy-L)r}}{\gamma + Dr} dr$$

где $y = |x| - Ct$, $L = b(\psi) + h$, $k = 2, 3$. Тогда (3.18) примет вид

$$\eta_L = \frac{b_1 b_2 b_3 g}{4\pi c_l^2} \frac{D^2}{\sqrt{|x|}} \operatorname{Re} [e^{-i\pi/4} (a_3(c^2 + ia_h(\varphi))I_2 + (a_3 - ia_h(\varphi))(c^2 - 1)hI_3)] \Big|_{y=|x|-Ct} \quad (3.19)$$

Интегралы $I_{2,3}$ вычисляются точно (см., например, [15]):

$$I_2 = \frac{\sqrt{\pi}}{D^3} \left[\frac{3D^2 - 2D\gamma\xi + 4(\gamma\xi)^2}{4\xi^{5/2}} - \frac{\sqrt{\pi}\gamma^{5/2}}{\sqrt{D}} e^{\gamma\xi/D} \operatorname{erfc} \left(\sqrt{\frac{\gamma\xi}{D}} \right) \right]$$

$$I_3 = \frac{\sqrt{\pi}}{D^4} \left[\frac{15D^3 - 6D^2\gamma\xi + 4D(\gamma\xi)^2 - 8(\gamma\xi)^3}{8\xi^{7/2}} + \frac{\sqrt{\pi}\gamma^{7/2}}{\sqrt{D}} e^{\gamma\xi/D} \operatorname{erfc} \left(\sqrt{\frac{\gamma\xi}{D}} \right) \right]$$

где аргумент у $\xi = L - iy$ лежит на интервале $[-\pi/2, \pi/2]$. При больших значениях вещественной части аргумента z функцию $\operatorname{erfc}(z)$ можно представить в виде асимптотического разложения:

$$\operatorname{erfc}(z) = \frac{e^{-z^2}}{\sqrt{\pi}z} \left(1 + \sum_{m=1}^{\infty} (-1)^m \frac{1 \cdot 3 \dots (2m-1)}{(2z^2)^m} \right)$$

что дает

$$I_2 = \frac{\sqrt{\pi}}{D^3} \left[\frac{3D^2 - 2D\gamma\xi + 4(\gamma\xi)^2}{4\xi^{5/2}} - \frac{\gamma^2}{\sqrt{\xi}} \left(1 - \frac{D}{2\gamma\xi} + \frac{3D^2}{4(\gamma\xi)^2} \dots \right) \right]$$

$$\equiv -\frac{\sqrt{\pi}\gamma^2}{\sqrt{\xi}} \sum_{m=3}^{\infty} (-1)^m \frac{(2m-1)! D^{m-3}}{2^{m-1}(m-1)!(2\gamma\xi)^m}$$

$$I_3 = \frac{\sqrt{\pi}}{D^4} \left[\frac{15D^3 - 6D^2\gamma\xi + 4D(\gamma\xi)^2 - 8(\gamma\xi)^3}{8\xi^{7/2}} + \frac{\gamma^3}{\sqrt{\xi}} \left(1 - \frac{D}{2\gamma\xi} + \frac{3D^2}{4(\gamma\xi)^2} - \frac{15D^3}{8(\gamma\xi)^3} \dots \right) \right]$$

$$\equiv \frac{\sqrt{\pi}\gamma^3}{\sqrt{\xi}} \sum_{m=4}^{\infty} (-1)^m \frac{(2m-1)! D^{m-4}}{2^{m-1}(m-1)!(2\gamma\xi)^m} \quad (3.20)$$

Можно воспользоваться другим способом вычисления интегралов $I_{2,3}$. Имеют место формулы

$$\int_0^{\infty} r^{k+1/2} e^{-\xi r} dr = \left(-i \frac{\partial}{\partial y}\right)^k \int_0^{\infty} \sqrt{r} e^{-\xi r} dr = \left(-i \frac{\partial}{\partial y}\right)^k \frac{\sqrt{\pi}}{2\xi^{3/2}} = \frac{\sqrt{\pi} (2k+1)!!}{2^{k+1} \xi^{3/2+k}}$$

Поэтому, если в формуле (3.18) подынтегральное выражение аппроксимировать функцией $Qr^{k+1/2}e^{-\tilde{L}r}$, подобрав параметры \tilde{L} и Q так, чтобы у этой функции и функции $r^{k+1/2}/(\gamma + Dr)e^{-Lr}$, совпали точка r_0 , в которой достигается максимум, и значение этого максимума, то мы получим явные приближенные выражения для решения.

Соответствующие вычисления, выполненные с помощью программы Mathematica [16], приводят к следующим формулам:

$$\frac{r^\alpha e^{-Lr}}{\gamma + Dr} \approx Q(\alpha) r^\alpha e^{-\tilde{L}(\alpha)r}, \quad Q(\alpha) = (\tilde{L}(\alpha) - L)e^{(D(1+\alpha)+L\gamma-w(\alpha))/(2D)}$$

$$\tilde{L}(\alpha) = \frac{D(1-\alpha) + L\gamma - w(\alpha)}{2\gamma}, \quad w(\alpha) = \sqrt{4\alpha DL\gamma + ((1-\alpha)D + L\gamma)^2}$$

Выберем $\alpha = k + 1/2$ и положим

$$w_k = w\left(k + \frac{1}{2}\right) \equiv \sqrt{4\left(k + \frac{1}{2}\right)DL\gamma + \left(\left(\frac{1}{2} - k\right)D + L\gamma\right)^2}$$

$$L_k = \tilde{L}\left(k + \frac{1}{2}\right) \equiv \frac{(1/2 - k)D + L\gamma + w_k}{2\gamma}$$

$$Q_k = Q\left(k + \frac{1}{2}\right) \equiv (L_k - L)e^{((k+3/2)D+L\gamma-w_k)/(2D)}$$

Напомним, что $L = b(\varphi) + h \equiv \sqrt{b_1^2 \cos\varphi + b_2^2 \sin\varphi} + h$; отсюда получим

$$I_k = \frac{\sqrt{\pi} (2k+1)!! Q_k}{2^{k+1} (L_k - iy)^{3/2+k}}$$

и простые приближенные формулы для решения

$$\eta_L = \frac{15b_1 b_2 b_3 g D^2}{64\pi^{3/2} c_l^2 \sqrt{|x|}} \operatorname{Re} \left[e^{-i\pi/4} \left(\frac{Q_2(a_3 c^2 + ia_h(\varphi))}{(L_2 - iy)^{5/2}} + \frac{5Q_3(a_3 - ia_h(\varphi))(c^2 - 1)h}{2(L_3 - iy)^{7/2}} \right) \right]_{y=|x|-c_l} \quad (3.21)$$

$$a_h(\varphi) = a_1 \cos\varphi + a_2 \sin\varphi$$

где φ – полярный угол вектора x .

4. Результаты численных расчетов. Приведем некоторые расчеты для действующего в вертикальном направлении $a_1 = a_2 = 0$ осесимметричного источника с $b_1 = b_2 = b_3 \equiv b$. На рис. 2 показаны результаты расчетов возвышения поверхности жидкости в зависимости от расстояния от эпицентра в некоторый фиксированный момент времени (пространственные профили): полученные по формулам (3.11)–(3.13) – сплошная линия и по формулам из [12] – пунктирная линия. Амплитуда у источников задавалась таким образом, чтобы максимальное значение возвышения жидкости для обоих решений совпадали. Глубина залегания источника и его размер для расчетов по (3.11)–(3.13) задавались 43 км и 2 км, соответственно. Характеристический размер источника для вычислений по [12] на левом графике равен 5, на правом 3.5. Как видно из рисунка, несмотря на то, что множители $e^{-(b-z_0)|\rho|}$ в (3.11)–(3.13) и $e^{-|\rho|}$ в [12] определяют размер источника, прямого соответствия между ними нет. Довольно хорошее согласие

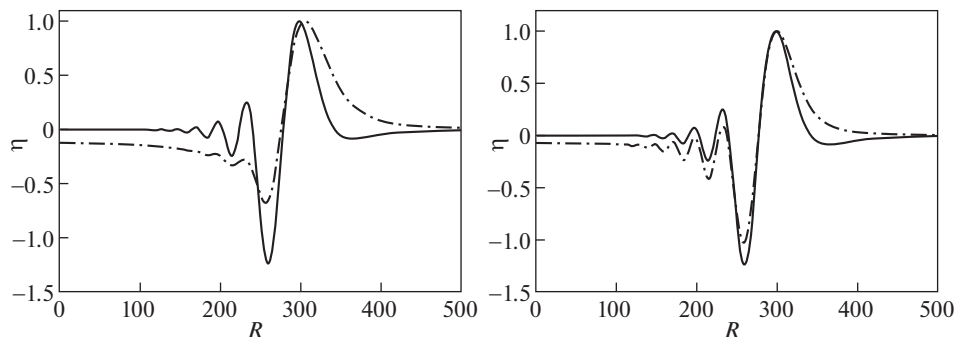


Рис. 2

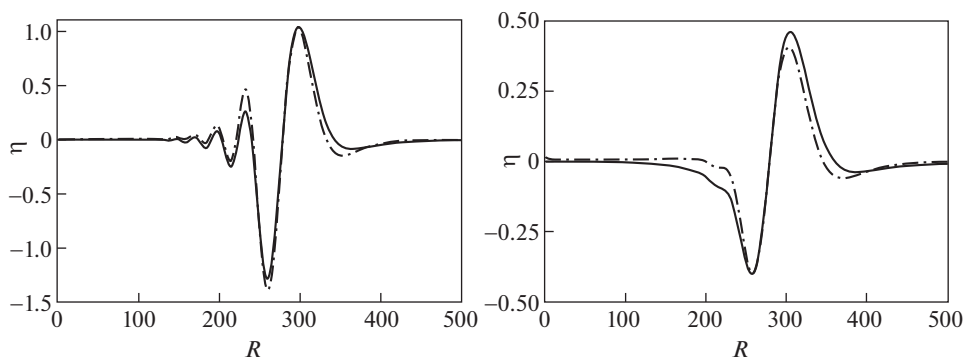


Рис. 3

пространственных профилей достигается в том случае, когда характерный размер l почти в 3 раза меньше глубины залегания $b - z_0$ источника.

Обратим внимание и на то, что в случае расположенного в упругом основании источника, головной гребень волны становится более крутым, а перед ним появляется характерное понижение уровня жидкости по отношению к невозмущенному состоянию. Как следует из расчетов, дисперсионные эффекты в волнах, порождаемых источником в упругой среде, выражены слабее, чем в волнах от источника на дне.

На рис. 3 показаны результаты расчетов η выполненных по (3.11)–(3.13) – сплошная линия в сравнении с длинноволновым приближением (3.18) – пунктирная линия. На графике слева глубина залегания источника составляет 43 км, на графике справа – 63 км, характерный размер источника равен 2 км, амплитуда источника для обоих графиков одинакова. Для профилей волн, полученных по длинноволновому приближению, передний фронт головного гребня круче, а впадина перед ним более заметна.

Рис. 4 демонстрирует зависимость профиля волны от глубины залегания источника. Графики слева рассчитаны по (3.11)–(3.13), справа – по (3.18); параметры для расчета: $b = 2$, $z_0 = -43$ – сплошные, $z_0 = -53$ – штрихпунктирные, $z_0 = -63$ – пунктирные линии. С увеличением глубины источника на волновых профилях уменьшаются амплитуды “хвостовых” (следующих за головным) гребней, вплоть до их полного исчезновения. Волны становятся все более похожими на те, которые порождаются источником на дне [12] с большим значением характерного размера l , но при этом длина порождаемых волн меняется незначительно.

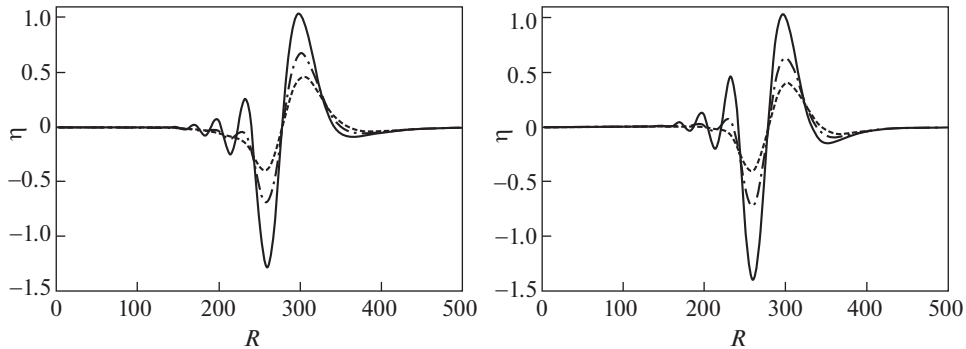


Рис. 4

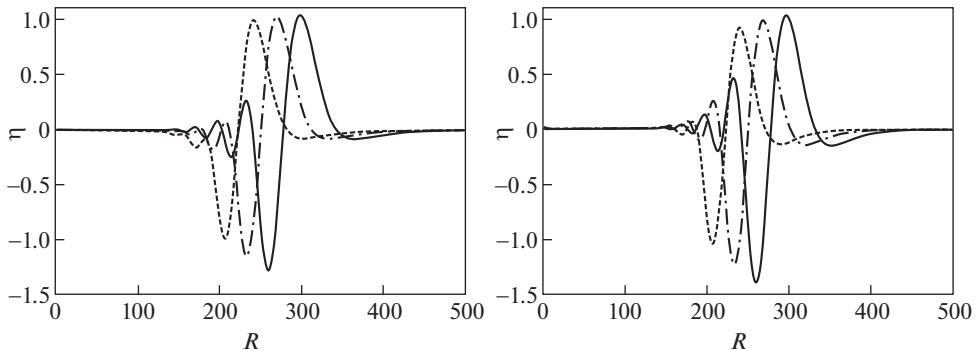


Рис. 5

Поведение профилей волны в зависимости от толщины слоя жидкости показано на рис. 5; левый график рассчитан по (3.11)–(3.13), правый – по (3.18). Данные для расчетов: $b = 2$, $z_0 = -43$. Сплошные линии соответствуют толщине слоя $D = 5$, штрихпунктирные – $D = 4.5$, пунктирные – $D = 4$. Видно, что уменьшение толщины слоя приводит к снижению проявления “дисперсионных” эффектов в волнах: уменьшается количество хвостовых волн и их амплитуды. Из сравнения левого и правого графиков видно, что длинноволновая формула (3.18) дает большее изменение амплитуды волны в зависимости от толщины слоя.

Уменьшение скорости поперечной волны в упругой среде, результаты расчетов приведены на рис. 6, приводит к незначительному увеличению амплитуд генерируемых волн, практически не влияя при этом на их длину. Длинноволновое приближение дает на 8–9% меньшие значения для головных впадин, при практически одинаковых амплитудах головного гребня. График слева построен по (3.11)–(3.13), справа – по (3.18). Скорости поперечных волн: $c_t = 2900$ – сплошные, $c_t = 2800$ – штрихпунктирные, $c_t = 2700$ – пунктирные линии. Остальные параметры: $b = 2$, $z_0 = -43$, $D = 5$.

Результаты расчета волновых профилей для достаточно длинных волн, выполненные по точным формулам – сплошные линии и явным аналитическим зависимостям (3.19) – штрихпунктирные линии, представлены на рис. 7. Параметры для расчета взяты следующими: $b = 2$, $z_0 = -83$, $D = 5$, $c_t = 2900$. Сравнение показывает, что волновые

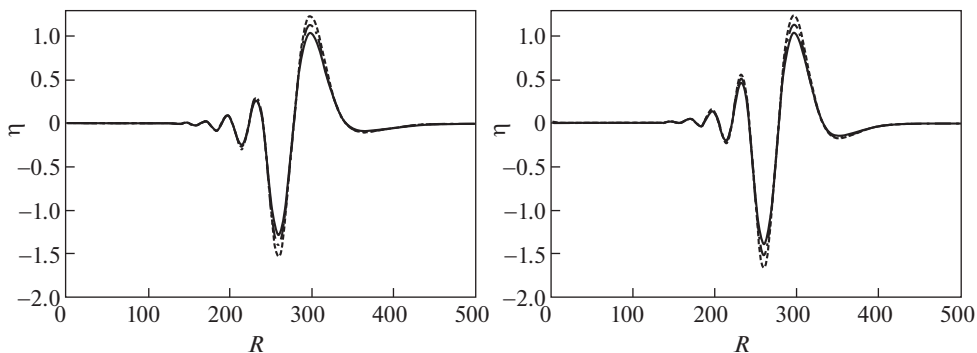


Рис. 6

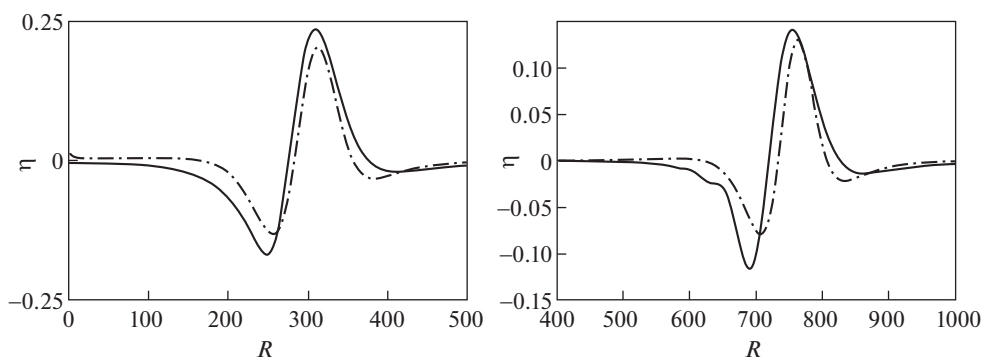


Рис. 7

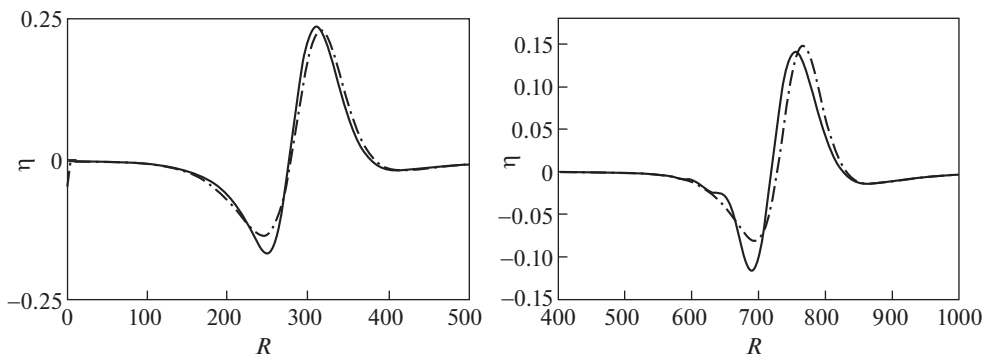


Рис. 8

профили полученные по явным формулам демонстрируют чуть меньшие амплитуды у головных гребня и впадины, а также более быстрый выход на стационарное значение. С увеличением расстояния (график справа) в волнах, полученных по точным зависимостям, начинают проявляться дисперсионные эффекты, отсутствующие в волнах, рассчитанных по (3.19).

На рис. 8 приведено сравнение волновых профилей, рассчитанных по точным формулам — сплошные и аналитическим зависимостям (3.20) — штрихпунктирные линии, для тех же параметров, что и на предыдущем рисунке.

Заключение. Получены простые формулы, позволяющие изучать влияние параметров источника и среды на распространение возбуждаемых этим источником длинных волн. Вывод этих формул опирается, в том числе, на предложенный способ упрощения подынтегральных выражений.

Работа выполнена при финансовой поддержке РФФИ (проект 17-01-00644 А).

СПИСОК ЛИТЕРАТУРЫ

1. Пелиновский Е.Н. Гидродинамика волн цунами. Нижний Новгород.: Институт прикладной физики РАН, 1996. 276 с.
2. Kanamori H. Mechanism of tsunami earthquakes // Phys. Earth Planet. Inter. 1972. № 6. P. 349–359.
3. Yamashita T., Sato R. Generation of tsunami by a fault model // J. Phys. Earth. 1974. № 22. P. 415–440.
4. Levin B.W., Nosov M.A. Physics of Tsunamis. Second Ed. Springer, 2016. 388 p.
5. Подъяпольский Г.С. Возбуждение цунами землетрясением // Методы расчета возникновения и распространения цунами. М.: Наука, 1978. С. 30–87.
6. Sabatier P.C. On water waves produced by ground motions // J. Fluid Mech. 1983. № 126. P. 27–58.
7. Гусяков В.К., Чубаров Л.Б. Численное моделирование возбуждения и распространения цунами в прибрежной зоне // Изв. РАН. Физика Земли. 1987. Вып. 11. С. 53–64.
8. Фрагела А. К. К задаче о движении идеальной жидкости в неограниченном упругом бассейне // Дифференц. уравнения. 1989. Т. 25. Вып. 8. С. 1417–1426.
9. Доброхотов С.Ю., Толстова О.Л., Чудинович И.Ю. Волны в жидкости на упругом основании. Теорема существования и точные решения // Матем. заметки, 1993. Т. 54. Вып. 3. С. 33–55.
10. Зволинский Н.В., Карпов И.И., Никитин И.С., Секерж-Зенькович С.Я. Возбуждение волн цунами и Рэлея гармоническим двумерным центром вращения // Изв. РАН. Физика Земли. 1994. Вып. 9. С. 29–33.
11. Гринив Р.О., Доброхотов С.Ю., Шкаликов А.А. Операторная модель задачи о колебаниях жидкости на упругом основании // Матем. заметки. 2000. Т. 68. Вып. 1. С. 57–70.
12. Dobrokhotov S.Yu., Tolstova O.L., Sekerzh-Zenkovich S.Ya., Vargas C.A. Influence of the elastic base of a basin on the propagation of waves on the water surface // Russ. J. Math. Physics. 2018. Т. 25. № 4. P. 459–469.
13. Доброхотов С.Ю., Ильясов Х.Х., Секерж-Зенькович С.Я., Толстова О.Л. Простые решения задачи о волнах на поверхности жидкости в рамках линейной гидроупругой модели // ДАН. 2019. Т. 18. № 4. С. 370–375.
14. Федорюк М.В. Асимптотика, интегралы и ряды. М.:Наука, 1987. 544 с.
15. Dobrokhotov S.Yu., Nazaikinskii V.E. Tirozzi, Asymptotic solutions of 2-D wave equations with variable velocity and localized right-hand side // Russian Journal of Mathematical Physics. 2010. V. 17. № 1. P. 66–76.
16. Wolfram Mathematica, www.wolfram.com/mathematica/